

九州大学工学部 正会員 広坂 照

九州大学工学部 学生員 〇田中康順

1. 緒言

PC桁橋の架設施工には種々の工法があるが、近年プレキャストPC単純桁と現場打ちコンクリート床版を組み合わせたPC合成桁が用いられるようになり、さらに経済性や自動車の走行性において多くの利点を有する連続桁橋としての工事例が多く見受けられる¹⁾。PC合成連続桁橋の標準的な架設施工順序と各時点での作用荷重を示せば次のとおりである²⁾。

- (i) プレキャストPC主桁のコンクリート打設。
- (ii) プレキャスト主桁にプレストレッシングを行ふ。
- (iii) プレストレッシングを完了したPC主桁を単純桁として橋脚上に架設。
- (iv) 橋脚コンクリート打設。橋脚自重は単純桁としての主桁に作用する。
- (v) 主桁の連続ケーブルを緊張し連続桁にする。
- (vi) 中間支点付近の一次床版コンクリート打設。この自重は連続桁としての主桁に作用する。
- (vii) 床版ケーブルを緊張する。この床版アラストレスは、一次床版完成後の変断面連続桁に作用する。
- (viii) 支間中央部の二次床版コンクリート打設。この自重は、(vii)と同じ変断面連続桁に作用する。
- (ix) 地盤、高欄、舗装などを施工する。これらの総死荷重は完全な連続合成桁に作用する。
- (x) 活荷重載荷

上記により架設施工されるPC合成連続桁は、主桁架設直後には支点の不静定モーメント生じないが、プレキャスト桁と現場打ち床版のコンクリートのフリーアップおよび収縮差により時間の経過とともに新たに不静定力が発生し、当初と全く異なる応力分布を示すようになる。これに関する既往の研究^{3), 4)}の一節はわが国の現行の設計式にも取り入れられているが、クリープ現象の取り扱いや理論式の説明過程に不明確な点も多い。本論は、かかる構造形式の橋梁に關してコンクリートのクリープ、収縮現象と架設施工順序までをさうる限り忠実、精密に考慮して応力解析を行ひ、合理的かつ実用的な設計式を導かんとするものである。

2. コンクリートのフリーアップ率数および収縮ひずみ

時間 t の原点を1.の(i)のプレキャストPC桁のコンクリート打設時にとり、床版コンクリート打設後、合成作用開始時刻を $t=0$ とする。以後 t 、 t_1 を任意時刻 t におけるプレキャスト桁および床版のクリープ率数 ψ 、 S_1 と自由収縮ひずみ S_1 、 S_2 を次式で表わす⁵⁾。

$$\text{プレキャスト桁: } \begin{cases} \psi(t, z) = \varphi_1 k_1(z) [1 - e^{-\beta_1(z-z)}], & z = 1: k_1(z) = e^{\beta_1(28-z)} \\ S_1(z) = S_{m1} [1 - e^{-\beta_1 z}] \end{cases} \quad (1)$$

$$\text{床版: } \begin{cases} \psi_2(t, z) = \varphi_2 k_2(z) [1 - e^{-\beta_2(z-z)}], & z = 1: k_2(z) = e^{\beta_2(28-z+\tau)} \\ S_2(z) = S_{m2} [1 - e^{-\beta_2(z-\tau)}] \end{cases} \quad (2)$$

上式において、 φ 、 β_1 、 β_2 は実験により定まる定数、 k_1 、 k_2 は標準クリープ率数、 S_{m1} 、 S_{m2} 、 τ は $t \rightarrow \infty$ における最終自由収縮ひずみである。

時刻 $t = \tau$ においてプレキャストPC桁に作用する主桁有効アラストレス、主桁・横柵・床版の自重、床版アラストレスおよびによる応力を σ_0 、任意時刻 t におけるそれを $\sigma_1 + \sigma_2$ とすれば、 $t = \tau$ 以

降に生ずるアレキヤストPC材のクリープひずみ ϵ_c 、は次式で表わされる。

$$E_{12} = \frac{1}{E_1} \left\{ \sigma_{12} + \sigma_{10} \varphi_{12}(t, \tau_i) - \int_{\tau_i}^t \sigma_{12}(\tau) \frac{\partial}{\partial t} \varphi_{12}(t, \tau) d\tau \right\} - \{S_{12}(t) - S_{12}(\tau_i)\} \quad (3)$$

ただし、 E_c : PC主筋コンクリートのヤング係数

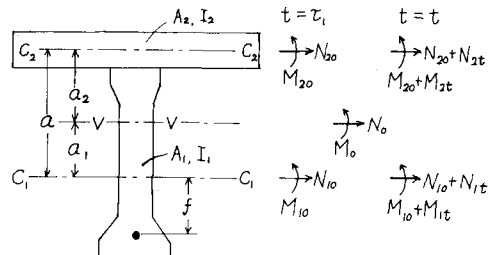
同様に、時刻 $t = \bar{t}$ において床版に作用するニ次床版自重が及び床版アレストレスによる応力を加え、任意時刻 t におけるそれを $\sigma_{20} + \sigma_{2t}$ とすれば、床版のクリープひずみ ε_{2t} は

$$\mathcal{E}_{2t} = \frac{1}{\Delta t} \left\{ \mathcal{O}_{2t} + \mathcal{O}_{20} \varphi_2(t, \tau) - \int_{\tau}^t \mathcal{O}_{2t}(\tau') \frac{\partial}{\partial \tau} \varphi_2(\tau, \tau') d\tau' \right\} - S_2(t) \quad (4)$$

たるし、 E_2 ：床版コンクリートのヤング係数

3. P C合成樹の弾性理論とクリープ基本式

図-1の γ_1 と γ_2 PC合成断面を考え、プレイヤー A_1 、 A_2 が断面積方より断面ニ次モーメントをそれぞれ I_{11} 、 I_{22} 、その回心軸を C_1-C_2 とし、床版の断面積方より断面ニ次モーメントをそれぞれ I_{12} 、 I_{21} 、その回心軸を C_2-C_1 とする。また合成断面の重心軸 $V-V$ に関する絶断面ニ次モーメント（床版プレイヤー A_1 の筋数比 $\gamma = E_1/E_2$ を用いて主軸に換算する）を I_V とし、



$$\boxed{y} = 1$$

$V-V$ から $C-C$ 方及び $C-G$ 方の距離をそれぞれ a_1 , a_2 , なら $1-a_1-a_2=a$ とする。乃が、主軸の PC 鋼材は回心軸 $C-C$ の下方 f の位置に集中して配置されるものと考える。

いまPC合成筋に作用する外力としてモーメント M_0 および合成断面の重心に働く転カニ N_0 を与えるとき、主筋の曲げモーメント M_0 、その重心に働く転カニ N_0 、および床版の曲げモーメント M_{02} 、転カニ N_{02} は弹性理論より次式で求められる。

$$M_{10} = \frac{I_1}{I_V} M_0, \quad N_{10} = \frac{A_2}{\alpha} N_0 - \frac{A_1 A_2}{I_V} M_0, \quad M_{20} = \frac{I_2}{\eta I_V} M_0, \quad N_{20} = \frac{\alpha}{\alpha} N_0 + \frac{A_1 A_2}{I_V} M_0 \quad (5)$$

次に、任意時刻 t における主軸方および床版の曲げモーメントと軸力をそれぞれ $M_{1t}, M_{2t}, N_{1t}, N_{2t}$, $M_{20} + M_{2t}, N_{20} + N_{2t}$ とすれば、平面保持の仮定方より式(3), (4)より次式が成立する。

$$\begin{aligned} & \frac{1}{E\Delta t} \left\{ N_{2t} + N_{20} \varphi_2(t, \tau) - \int_{\tau}^t N_{2t}(\tau) \frac{\partial}{\partial \tau} \varphi_2(t, \tau) d\tau \right\} - S_2(t) \\ &= \frac{1}{E\Delta t} \left\{ N_{2t} + N_{20} \varphi_2(t, \tau) - \int_{\tau}^t N_{2t}(\tau) \frac{\partial}{\partial \tau} \varphi_2(t, \tau) d\tau \right\} - \frac{1}{E\Delta t} \left\{ M_{1t} + M_{10} \varphi_1(t, \tau) - \int_{\tau}^t M_{1t}(\tau) \frac{\partial}{\partial \tau} \varphi_1(t, \tau) d\tau \right\} - \{S_1(t) - S_1(\tau)\} \quad (6)_2 \end{aligned}$$

$$\frac{1}{E\Gamma} \left\{ M_{22} + M_{20} y_3(t_0 T) - \int_{t_0 T}^T M_{22}(t) \frac{\partial}{\partial t} y_2(t, t) dt \right\} = \frac{1}{E\Gamma} \left\{ M_{22} + M_{20} y_3(t_0 T) - \int_{t_0 T}^T M_{22}(t) \frac{\partial}{\partial t} y_1(t, t) dt \right\} \quad (6)_b$$

上式の両辺をたてて2回微分のうえ整理すれば

$$\frac{1}{E_{\text{R}}} \left[\dot{N}_{2c} + \gamma \{ 1 + \phi_2 k_2(t) \} N_{2c} \right] = \frac{1}{E_{\text{R}}} \left[\dot{N}_{1c} + \gamma \{ 1 + \phi_1 k_1(t) \} N_{1c} \right] - \frac{\alpha}{E_{\text{L}}} \left[\dot{N}_{1c} + \gamma \{ 1 + \phi_1 k_1(t) \} N_{1c} \right] \quad (7a)$$

$$\frac{1}{EI_2} \{ \ddot{M}_{2t} + \gamma \} + \phi_2 k_2(t) \{ \dot{M}_{2t} \} = \frac{1}{EI_1} \{ \ddot{M}_{1t} + \gamma \} + \phi_1 k_1(t) \{ \dot{M}_{1t} \} \quad (7)_b$$

式(7)は静定、不静定の如何を問わずP-C合成軸の任意点における断面力の時間的変化量 M_{ct} , N_{ct} , M_{ct} および N_{ct} の間に常に成立するフリープ基本式である。

4. 外カモーメントが一定の場合の解

合成断面に働く外カモーメントがあるときの一定（時間的に変化しない）とすれば、任意時刻

$t = t_0$ における力のつり合い条件より次式が成立する。

$$N_{2t} = -N_{2t} \quad (8)_a, \quad M_{2t} = N_{2t} \alpha - M_{2t} \quad (8)_b$$

通常のPC合成桁では M_{2t} は M_{2t} に比して極めて小さく式(8)_aにおいて N_{2t} は無視できるゆえ、

$$M_{2t} = N_{2t} \alpha. \quad (8)_b'$$

式(8)_aおよび(8)_bを式(7)_aに代入し、 $t = t_0$ で $N_{2t} = 0$ なる初期条件を考慮すれば N_{2t} の解がえられる。次へて式(8)_aを式(7)_aの右辺に代入し、同じく $t = t_0$ で $N_{2t} = 0$ なる初期条件を考慮すれば M_{2t} が求められることになる。途中の演算を省略し、便の便宜上解に有字の添付して結果まとめておけば次式のごとくである。

$$\left. \begin{aligned} N_{2t}^0 &= -N_{2t}^0 = \left\{ \left(\frac{\alpha A_2 S_n}{Y_{2n}} - N_{2t} \right) + \frac{A_2}{M_{2t}} (N_{2t} - \frac{A_2 \alpha}{I_2} M_{2t}) \frac{Y_{2n}}{Y_{2n}} \right\} \frac{Y_{2n}}{Y_{2n}} C(t, t_0), \quad M_{2t}^0 = N_{2t}^0 \alpha \\ M_{2t}^0 &= \left(\frac{I_2}{Y_{2n}} M_{2t} \frac{Y_{2n}}{Y_{2n}} - M_{2t} \right) G(t, t_0) + \frac{I_2 \alpha}{M_{2t}} \left(\frac{\alpha A_2 S_n}{Y_{2n}} - N_{2t} \right) + \frac{A_2}{M_{2t}} (N_{2t} - \frac{A_2 \alpha}{I_2} M_{2t}) \frac{Y_{2n}}{Y_{2n}} \{ G(t, t_0) - \frac{Y_{2n}}{Y_{2n}} C(t, t_0) \} \end{aligned} \right\} (9) \\ \therefore \quad & \alpha = 1 / \{ 1 + \frac{A_2}{M_{2t}} (1 + \frac{A_2 \alpha}{I_2}) \}, \quad Y_{2n} = P_1 R_1(t_0), \quad Y_{2n} = P_2 R_2(t_0), \quad Y_{2n} = Y_{2n} + (\frac{I_2}{\alpha}) Y_{2n} \\ S_n &= S_{n0} - S_{n0} e^{-\delta t}, \quad C(t, t_0) = \gamma \alpha Y_{2n} \int_{t_0}^t \exp \left\{ -\delta \int_{t_0}^t \{ 1 + \alpha P_2 R_2(\tau) + (1-\alpha) P_1 R_1(\tau) \} d\tau \right\} d\tau, \\ G(t, t_0) &= \gamma Y_{2n} \int_{t_0}^t \exp \left\{ -\delta \int_{t_0}^t \{ 1 + P_3 R_3(\tau) \} d\tau \right\} d\tau. \end{aligned} \right.$$

5. PC合成連続桁のフリーパーの一般解法

図2(a)のごとき($m+1$)跨間のPC合成連続桁を考え、

左端から0, 1, 2, ..., $m+1$ の支点番号を付す。図(B)、(C)

は I_1 および I_2 の変化の模様を示したもので、オレ支点に向

ける値をそれぞれ I_{1i} , I_{2i} とする。当初 $t = t_0$ において死

荷重およびプレストレスにより合成桁の各断面に作用する

断面力 M_{10} , N_{10} , M_{20} および N_{20} は、任意時刻 t にはコンク

リートのフリーパーおよび取締によりそれぞれ M_{1t} , N_{1t} , M_{2t}

および N_{2t} だけ変化するが、PC合成連続桁では外力モー

メント M_0 は時間的に変化するため、これらの断面力の変化

量は M_0 が一定の場合の式(9)の値と M_0 の変化により生ずる

量(脚字 t を付して表す)との和になる。すなわち

$$M_{1t} = M_{10}^0 + M_{1tt}, \quad N_{1t} = N_{10}^0 + N_{1tt}, \quad M_{2t} = M_{20}^0 + M_{2tt}, \quad N_{2t} = N_{20}^0 + N_{2tt} \quad (10)$$

M_0 の時間的変化量 M_0 のオレ支点における値を X_{1t} とし、これに対応する主桁の曲げモーメント M_{1tt} のオレ支点における値を X_{1tt} とする。図(a)の三次不静定連続桁のm個の中間支点にヒンジを挿入した静定基本系において、オレ支点に単位モーメント $X_{1tt}=1$ を加えた場合の合成断面の曲げモーメントを \bar{M}_1 , $X_{1tt}=1$ を加えた場合の主桁の曲げモーメントを \bar{M}_1 とし(図(f)参照)、

$$\bar{M}_1 = M_1 \frac{I_{1t}}{I_1} \frac{I_1}{I_{1t}}$$

の関係が成り立つものとすれば、所要の M_{1tt} は次式で求められる。

$$M_{1tt} = \sum_{i=1}^{m-1} X_{1it} \bar{M}_1 \quad (11)$$

X_{1it} ($i = 1, 2, \dots, m$) を求める連立微分方程式は次式で与えられる。

$$\begin{bmatrix} \delta_{11} & \delta_{12} & \cdots & \delta_{1m} \\ \delta_{21} & \delta_{22} & \cdots & \delta_{2m} \\ \vdots & \vdots & & \vdots \\ \delta_{m1} & \delta_{m2} & \cdots & \delta_{mm} \end{bmatrix} \begin{bmatrix} X_{1,1\bar{t}} - \int_{\bar{t}_0}^{\bar{t}} X_{1,1\bar{t}}(\bar{t}) \frac{\partial}{\partial \bar{t}} \Psi_1(\bar{t}, \bar{z}) d\bar{t} \\ X_{1,2\bar{t}} - \int_{\bar{t}_0}^{\bar{t}} X_{1,2\bar{t}}(\bar{t}) \frac{\partial}{\partial \bar{t}} \Psi_1(\bar{t}, \bar{z}) d\bar{t} \\ \vdots \\ X_{1,m\bar{t}} - \int_{\bar{t}_0}^{\bar{t}} X_{1,m\bar{t}}(\bar{t}) \frac{\partial}{\partial \bar{t}} \Psi_1(\bar{t}, \bar{z}) d\bar{t} \end{bmatrix} + \begin{bmatrix} \delta_{1\bar{t}} \\ \delta_{2\bar{t}} \\ \vdots \\ \delta_{m\bar{t}} \end{bmatrix} = 0 \quad (12)$$

$$\therefore \quad \delta_{j\bar{t}} = \int_{\bar{t}_0}^{\bar{t}} \frac{M_{j\bar{t}}}{E I_{\bar{t}}} d\bar{t}, \quad \delta_{j\bar{t}} = \int_{\bar{t}_0}^{\bar{t}} \frac{M_{j\bar{t}}}{E I_{\bar{t}}} \{ M_{j\bar{t}} + M_{j0} \Psi_1(\bar{t}, \bar{z}) - \int_{\bar{t}_0}^{\bar{t}} M_{j\bar{t}}(\bar{t}) \frac{\partial}{\partial \bar{t}} \Psi_1(\bar{t}, \bar{z}) d\bar{t} \} d\bar{t}$$

式(12)の左辺の係数 δ_{ji} ($i, j = 1, 2, \dots, m$) を要素とする行列式を $|D|$ 、その逆行列要素 δ_{ji} の余因数を A_{ji} とすれば、式(12)の解 $X_{i,\bar{t}}$ ($i = 1, 2, \dots, m$) は \bar{z} のよう求められる。

$$X_{i,\bar{t}} = -\frac{1}{|D|} \sum_{j=1}^m A_{ji} \left\{ \int_{\bar{t}_0}^{\bar{t}} \frac{M_{j\bar{t}} M_{j0}}{E I_{\bar{t}}} d\bar{t} + U(\bar{t}, \bar{z}) \int_{\bar{t}_0}^{\bar{t}} \frac{M_{j\bar{t}} M_{j0}}{E I_{\bar{t}}} d\bar{t} \right\} \quad (13)$$

$$\therefore \quad U(\bar{t}, \bar{z}) = \gamma \varphi_{2n} \int_{\bar{t}_0}^{\bar{t}} \exp \left\{ -\delta \int_{\bar{t}_0}^{\bar{t}} \{ 1 + \phi_{k\bar{t}}(\bar{t}) \} d\bar{t} \right\} d\bar{t}$$

式(13)を式(11)に代入して先ず $M_{i\bar{t}}$ がえられ、次いで PC 合成材クリート基本式(7)より残りの断面力変化量 $N_{i\bar{t}}$, $M_{i\bar{t}}$ および N_{2n} が求められる。結果まとめておせば次式のことである。

$$\left. \begin{aligned} M_{i\bar{t}} &= \sum_{j=1}^m B_j \int_{\bar{t}_0}^{\bar{t}} \frac{M_{j\bar{t}} M_{j0}}{E I_{\bar{t}}} d\bar{t} + U(\bar{t}, \bar{z}) \sum_{j=1}^m B_j \int_{\bar{t}_0}^{\bar{t}} \frac{M_{j\bar{t}} M_{j0}}{E I_{\bar{t}}} d\bar{t} \\ M_{2n} &= -\frac{I_2}{M_{2n}} \sum_{j=1}^m B_j \int_{\bar{t}_0}^{\bar{t}} \frac{M_{j\bar{t}} M_{j0}}{E I_{\bar{t}}} \cdot \frac{\alpha}{1-\alpha} d\bar{t} \\ &\quad + \frac{I_2}{M_{2n}} \sum_{j=1}^m \left[\frac{y_{2n} z_{j0}}{y_{2n} z_{j\bar{t}}} B_j \int_{\bar{t}_0}^{\bar{t}} \frac{M_{j\bar{t}} M_{j0}}{E I_{\bar{t}}} d\bar{t} + \sum_{j=1}^m B_j \int_{\bar{t}_0}^{\bar{t}} \frac{I_2}{E I_{\bar{t}}} \cdot \frac{\alpha}{1-\alpha} d\bar{t} \left\{ \left(\frac{E_2 A_2 S_n}{y_{2n}} - N_{20} \right) + \frac{A_2}{M_{2n}} (N_{20} - \frac{A_2}{I_2} M_{20}) \frac{\varphi_{2n}}{y_{2n}} \right\} d\bar{t} \right] \right\} \\ N_{2n} &= -N_{20} = \frac{A_2 Q}{M_{2n}} \sum_{j=1}^m B_j \int_{\bar{t}_0}^{\bar{t}} \frac{M_{j\bar{t}} M_{j0}}{E I_{\bar{t}}} \cdot \frac{\alpha}{1-\alpha} d\bar{t} \\ &\quad - \frac{A_2 Q}{M_{2n}} \bar{\alpha} L(\bar{t}, \bar{z}) \left[\frac{y_{2n}}{y_{2n}} \sum_{j=1}^m B_j \int_{\bar{t}_0}^{\bar{t}} \frac{M_{j\bar{t}} M_{j0}}{E I_{\bar{t}}} d\bar{t} + \sum_{j=1}^m B_j \int_{\bar{t}_0}^{\bar{t}} \frac{I_2}{E I_{\bar{t}}} \cdot \frac{\alpha}{1-\alpha} d\bar{t} \left\{ \left(\frac{E_2 A_2 S_n}{y_{2n}} - N_{20} \right) + \frac{A_2}{M_{2n}} (N_{20} - \frac{A_2}{I_2} M_{20}) \frac{\varphi_{2n}}{y_{2n}} \right\} d\bar{t} \right] \\ \therefore \quad B_j &= -\frac{1}{|D|} \sum_{i=1}^m A_{ji} \bar{M}_{i\bar{t}}, \quad \bar{\alpha} = 1 / (1 + \frac{A_2}{M_{2n}}), \quad \varphi_{2n} = y_{2n} + (\frac{1-\bar{\alpha}}{\bar{\alpha}}) \varphi_{2n}, \\ L(\bar{t}, \bar{z}) &= \bar{\alpha} \varphi_{2n} \int_{\bar{t}_0}^{\bar{t}} \exp \left\{ -\delta \int_{\bar{t}_0}^{\bar{t}} \{ 1 + \bar{\alpha} \phi_{k\bar{t}}(\bar{t}) + (1-\bar{\alpha}) \phi_{k\bar{t}}(\bar{t}) \} d\bar{t} \right\} d\bar{t}. \end{aligned} \right\} \quad (14)$$

6. 實用式

式(9)および(14)に含まれる関数 $C(\bar{t}, \bar{z})$, $G(\bar{t}, \bar{z})$, $U(\bar{t}, \bar{z})$, および $L(\bar{t}, \bar{z})$ の計算には一般に既存値を用いる必要とし面倒であるが、特例として式(1), (2)にて $B_1 = B_2 = \gamma$ の場合に限り次式が成立する。

$$C(\bar{t}, \bar{z}) = 1 - e^{\bar{\alpha}\bar{t}}, \quad G(\bar{t}, \bar{z}) = 1 - e^{-\bar{\beta}\bar{z}}, \quad U(\bar{t}, \bar{z}) = 1 - e^{-\bar{\theta}\bar{z}}, \quad L(\bar{t}, \bar{z}) = 1 - e^{-\bar{\alpha}\bar{t}\bar{z}} \quad (15)$$

$$\therefore \quad \bar{\theta} = \varphi_{2n}(\bar{t}, \bar{z}) + \frac{1-\bar{\alpha}}{\bar{\alpha}} \varphi_{2n}(\bar{t}, \bar{z}), \quad \bar{\beta} = \varphi_{2n}(\bar{t}, \bar{z}) + \left(\frac{1-\bar{\alpha}}{\bar{\alpha}} \right) \varphi_{2n}(\bar{t}, \bar{z})$$

この特例はクリート部材に慣用的 Whitney の法則を導入することを意味し、設計における実用計算には式(9)および(14)に式(15)を代入すれば演算が極めて簡単になる。

参考文献

- 1) 日本道路公团：東名高速道路建設誌、昭和45年6月。
- 2) 日本道路公团：高速道路標準設計－ポストテンション型統合合成材基本設計計算書、昭和41年10月。
- 3) 高速道路調査会：PC 合成材の実験と理論解析、昭和42年1月。
- 4) 日本道路協会：プレストレスコンクリート道路橋設計示方書。
- 5) 役坂 黒：壊断面統合合成材橋のクリートおよび収縮応力解法、土木学会論文報告集、第199号、昭和47年3月。